- 3. Геленов, А. А. Автомобильные эксплуатационные материалы: учебн. пособие / А. А. Геленов, Т. И. Соченко, В. Г. Спиркин. 4-е изд., стереотипное. М.: Академия, 2015. С. 110—126.
- 4. Сырбаков, А. П. Топливо и смазочные материалы: учебн. пособие / А. П. Сырбаков, М. А. Корчуганова; Томский политехн. ун-т. Томск: Изд-во Томского политехн. ун-та, 2015. 159 с.
- 5. Нефтепродукты. Расчет индекса вязкости по кинематической вязкости: ГОСТ 25371–2018. Взамен ГОСТ 25371–97 (ИСО 2909–81); введ. Респ. Беларусь 01.12.19. Минск: Госстандарт, 2019. 11 с.

## Нгуен Куанг Шан

(БГУ, Минск)

Науч. рук. И. Д. Феранчук, д-р физ.-мат. наук, профессор

## МЕТОД ЭКВИВАЛЕНТНЫХ ФОТОНОВ ДЛЯ МОДУЛИРОВАННОГО ПУЧКА ЭЛЕКТРОНОВ

**Введение.** Рассчитан спектр эквивалентных фотонов периодически модулированного сгустка электронов на выходе из ондулятора ренгеновского лазера на свободных зарядов и показано, что он содержит когерентный состав, позволяющий получать дополнительные рентгеновские импульсы.

**Выражение для потока энергии электронов**  $\Pi$  . Выражения для электромагнитных полей ( $\hbar = c = 1$ ):

$$\vec{E}(\vec{r},t) = \sum_{a}^{N} \vec{E}_{a}(\vec{r},t); \quad \vec{H}(\vec{r},t) = \sum_{a}^{N} [\vec{v}_{a}\vec{E}_{a}(\vec{r},t)];$$

$$\vec{E}_{a}(\vec{r},t) = -\frac{ie_{0}}{2\pi^{2}} \int d\vec{k} \frac{\vec{k} - \vec{v}_{a}(\vec{k}\vec{v}_{a})}{\vec{k}^{2} - (\vec{k}\vec{v}_{a})^{2}} e^{i\vec{k}(\vec{r} - \vec{v}_{a}t - \vec{r}_{a})}.$$
(1)

На ось z можно разбить  $\prod$  на две части:

$$\Pi = \Pi_{sp} + \Pi_{coh}$$

Для некогерентный потока  $\Pi_{sp}$  получается обычное выражение:

$$n_{sp}(\omega) = N \frac{2e_0^2}{\pi \omega} \ln\left(\frac{m\gamma}{\omega}\right); \quad |\vec{k}_{\perp} - \vec{\theta}_a| \approx \omega \gamma^{-1}.$$
 (2)

Когерентная составляющая спектральной плотности псевдофотонов принимает вид:

$$n_{coh}(\omega) \approx \left| \frac{(1 - e^{iL\omega})}{(1 - e^{id\omega})} \right|^2 e^{-\omega^2 \sigma_c^2 / 2d^2} \times \times N^2 \frac{e_0^2}{2v\pi\omega} \frac{d^2}{L^2} \left[ -e^{a^2 \gamma^{-2}} Ei(-a^2 \gamma^{-2})(1 + \gamma^{-2}a^2) - 1 \right],$$
(3)

Чтобы прояснить смысл выражений (2) и (3), воспользуемся значениями следующих параметров:

$$\begin{split} \gamma^{-1} &= \frac{0.511}{6.7 \times 10^3} \approx 8 \times 10^{-5}, \ k \approx 10^{10} \, m^{-1}, \ N \approx 1 n C \approx 6 \times 10^9, \ \frac{2 \pi^2 \sigma_c^2}{d^2} \approx 0.3, \\ \sigma_a &= 10^{-4}, \ \sigma_b = 2 \times 10^{-7} \, m, \ z = L = 4.3 \times 10^{-6} \, m, \ d = 6.28 \times 10^{-10} \, m, \\ a^2 \gamma^{-2} &= 6.4 \times 10^{-9} \times 0.5 [1.6 \times 10^{-7} \times 10^{-8} + 4 \times 10^{-10} \times 10^{-19}] \approx 0.03. \end{split}$$

Число псевдофотонов по формуле (2) равно:

$$N_{sp} = N \frac{2e^2}{\pi} \ln \frac{m\gamma}{\omega} \frac{\Delta\omega}{\omega} \approx 10^9 \times 10^{-5} \approx 10^{-4},$$

Между тем, для когерентной компонента, по формуле (3):

$$N_{coh} = N^2 \frac{e^2}{2} \frac{1}{\omega_0 L} \approx 3.6 \times 10^{19} \times \frac{1}{137} \frac{1}{8 \times 10^4} \approx 4.5 \times 10^{12}.$$

На рисунке 1 приведено сравнение спектральных плотностей потока некогерентных и когерентных псевдофотонов.

Метод, описанный в этой работе, также используется в калибровке Кулона для расчета распределения электронов [1, 2].

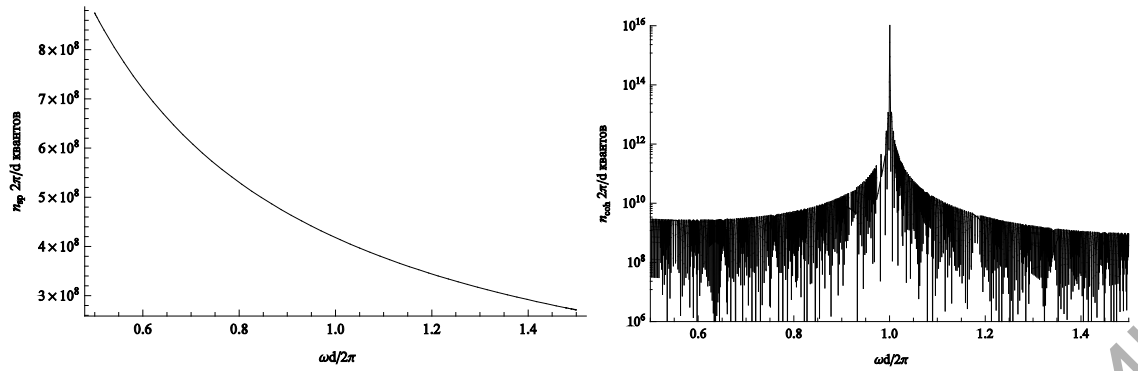


Рисунок 1 — Спектральная плотность распределения псевдофотонов модулированного пучка: а — некогерентных; б — когерентных в логарифмическом масштабе

Заключение. Результаты данной работы связаны с исследованием возможности получения когерентного рентгеновского излучения при прохождении относительно заряженного электронного пучка через кристалл. В последнее время появилось много исследований, связанных с высокоэнергетическим спектром резонансного рентгеновского излучения [3, 4], которые демонстрируют возможность получения дополнительных импульсов излучения с большим углом отклонения по сравнению с направлением движения электрона в лазерной трубке.

## Литература

- 1. Radical increase of the parametric x-ray intensity under condition of extremely asymmetric diffraction / O. Skoromnik, V. Baryshevsky, A. Ulyanenkov, I. Feranchuk // Nuclear Instruments and Methods in Physics Research Section B: Beam Interactions with Materials and Atoms.  $-2017.-Vol.\ 412.-P.\ 86-92.$
- 2. Фурс, А. Н. Потенциалы электромагнитного поля произвольного распределения зарядов и токов в калибровке Кулона / А. Н. Фурс // Журнал Белорусского государственного университета. Физика. -2017. = T. Physics, № 1. P. 43–51.
- 3. Skoromnik, O. Parametric x-ray radiation in the smith-purcell geometry for non-destructive beam diagnostics / O. Skoromnik, I. Feranchuk, D. Lu // Nuclear Instruments and Methods in Physics Research Section B: Beam Interactions with Materials and Atoms. 2019. Vol. 444. P. 125–134.
- 4. Benediktovitch, A. Quantum theory of superfluorescence based on two-point correlation functions / A. Benediktovitch, V. P. Majety, N. Rohringer // Phys. Rev. A. 2019. Vol. 99, №. 1. P. 013839 (18 pp.).